

# Численные методы решения

## Алгоритм решения задачи тепло-массопереноса в системе символьной математики MAPLE

Е. В. Воронова, Т. В. Гладких

**Аннотация.** В статье использована хорошо известная математическая формулировка одномерной линейной задачи взаимосвязанного тепло-массопереноса в шаре с постоянными параметрами процесса переноса. Данная задача описывает нестационарный процесс сушки зерна. Решение данной задачи представлено в аналитической форме с помощью модифицированных рядов Фурье, затем полученная система уравнений решена методом Лапласа, реализация которого проведена с использованием пакета MAPLE.

**Ключевые слова:** модифицированные ряды Фурье, теплота, влагосодержание, массообмен, сушка, зерно, зерновые культуры, эксперимент, аналитическое решение, Maple.

### Введение

Развитие теории тепло-массопереноса обязано главным образом работам академика А. В. Лыкова и его школы, что создало все возможности для широкого внедрения в инженерную практику аналитических и численно-аналитических методов расчета процессов тепло-массопереноса в системах с твердой фазой.

При конвективной сушке система дифференциальных уравнений в частных производных дополняется условиями однозначности в виде граничных условий третьего рода.

Зерно имеет сложную форму (толщину, ширину и длину соответственно  $a_0 = 1,6 \div 3,8$ ,  $b_0 = 1,8 \div 3,8$  и  $c_0 = 4,8 \div 8,6$  [2]). Такая геометрическая форма создает соответствующие трудности применения математических методов. Поэтому основным допущением является форма зерна — шар с эквивалентным радиусом.

Для описания динамики процесса используются уравнения А. В. Лыкова в предположении о беско-

нечно малой величине общего градиента давления. Поэтому основными характеристиками нестационарного процесса сушки будут температура  $\theta(t, x)$  и влагосодержание  $u(t, x)$ , где  $t$  — время,  $x$  — радиус.

### Постановка задачи и ее решение

Задача относится к такому типу, где используются уравнения с переменными параметрами. В качестве таких параметров могут приниматься коэффициент теплообмена  $\alpha$  и влагообмена  $\beta$ , а также коэффициент диффузии влаги  $a_m(t)$ , которые представлены эмпирическими коэффициентами. Математическое описание процесса сушки зерна еще усложняется, т. к. зерно неоднородно по структуре и составу. Подвижной слой влажного зерна рассматривается как сплошная среда, когда исследованию подлежит температурное поле и поля влагосодержания.

За основу возьмем систему уравнений А. В. Лыкова [4], представленную уравнениями в сферической системе координат и после замены переменных:  $r$  — пространственная координата, отнесенная к эквивалентному радиусу шара;  $T = (\theta - \theta_0)/\theta_c$  — безразмерная температура тела, отнесенная к температуре среды  $\theta_c$ ;  $U = (u - u_0)/u_0$  — безразмерное влагосодержание тела, отнесенное к начальному влагосодержанию  $u_0$ , получим безразмерную форму этих уравнений:

$$\begin{aligned} \frac{\partial T}{\partial \tau} &= A_{11} \left( \frac{\partial^2 T}{\partial r^2} + \frac{2}{r} \frac{\partial T}{\partial r} \right) + A_{12} \left( \frac{\partial^2 U}{\partial r^2} + \frac{2}{r} \frac{\partial U}{\partial r} \right), \\ \frac{\partial U}{\partial \tau} &= A_{21} \left( \frac{\partial^2 T}{\partial r^2} + \frac{2}{r} \frac{\partial T}{\partial r} \right) + A_{22} \left( \frac{\partial^2 U}{\partial r^2} + \frac{2}{r} \frac{\partial U}{\partial r} \right), \end{aligned} \quad (1)$$

$$T < \infty, U < \infty \text{ при } r \rightarrow 0, r \in [0, 1], \tau \in [0, 1],$$

$$\tau = t / t_k,$$

с граничными условиями третьего рода на шаровой поверхности зерна:

$$\begin{aligned} -\left. \frac{\partial T(r, \tau)}{\partial r} \right|_{r=1} + a_1 [1 - T(r, \tau)]_{r=1} - \\ - a_2 [U(r, \tau)]_{r=1} - u_p / u_0 = q_t \exp(-\alpha \tau), \\ \left. \frac{\partial U(r, \tau)}{\partial r} \right|_{r=1} + b_1 [1 - T(r, \tau)]_{r=1} + \\ + b_2 [U(r, \tau)]_{r=1} - u_p / u_0 = q_u \exp(-\alpha \tau), \end{aligned} \quad (2)$$

где  $u_0, u_p$  — соответственно начальное и равновесное влагосодержания,  $\alpha^{-1}$  — некоторая экспериментальная постоянная, имеющая смысл времени релаксации теплового удара, а величины  $q_t, q_u$  равны

$$q_t = a_1 - a_2 (1 - u_p / u_0), \quad q_u = b_1 - b_2 (1 - u_p / u_0).$$

Начальные условия имеют вид:

$$T(r, 0) = 0, \quad U(r, 0) = 1, \quad (3)$$

где комплексы критериев определяются уравнениями:  $A_{11} = 1 + \varepsilon \text{KoLuPn}$ ,  $A_{12} = \varepsilon \text{KoLu}$ ,  $A_{21} = \text{LuPn}$ ,  $A_{22} = \text{Lu}$ ,  $a_1 = \text{Bi}_q$ ,  $a_2 = (1 - \varepsilon) \text{KoLuBi}_m$ ,  $b_1 = \text{PnBi}_q$ ,  $b_2 = \text{Bi}_m(1 - (1 - \varepsilon) \text{PnKoLu})$ , а используемые критерии имеют вид:  $\text{Ko} = r_0 u_0 / c_q (\theta_c - \theta_0)$  — Коссовича;  $\text{Lu} = a_m / a$  — Лыкова;  $\text{Pn} = \delta (\theta_c - \theta_0) / u_0$  — Понсона;  $\text{Fo} = at / R^2$  — число Фурье (для удобства записи принимаем  $\text{Fo} = \tau$ ); теплообменный и

массообменный критерии Био соответственно  $\text{Bi}_q = \alpha R / \lambda$ ,  $\text{Bi}_m = \beta R / a_m$ .

Правые части в (2) подобраны так, чтобы эти условия при  $\tau = 0$  и начальные (3) при  $r = 1$  были согласованы между собой и, кроме того, при  $\tau \rightarrow \infty$  правые части в (2) быстро стремились к нулю.

Для решения задачи (1)–(3) будем использовать метод разложения неизвестных функций по модифицированным рядам Фурье. Подобные ряды Фурье обладают свойством повышенной сходимости и допускают возможность почленного дифференцирования [6].

Сделаем замену неизвестных функций:

$$\begin{aligned} T = \frac{Z(\tau, r)}{r}, \quad U = \frac{W(\tau, r)}{r}, \\ (Z, W) \in C^{(3)} \quad (0 \leq r \leq 1). \end{aligned} \quad (4)$$

С помощью (4) система (1) относительно  $Z$  и  $W$  принимает более простую форму:

$$\begin{aligned} \frac{\partial Z}{\partial \tau} &= A_{11} \frac{\partial^2 Z}{\partial r^2} + A_{12} \frac{\partial^2 W}{\partial r^2}, \\ \frac{\partial W}{\partial \tau} &= A_{21} \frac{\partial^2 Z}{\partial r^2} + A_{22} \frac{\partial^2 W}{\partial r^2}. \end{aligned} \quad (5)$$

Поскольку  $T$  и  $U$  при  $r \rightarrow 0$  — ограниченные функции, что согласуется с физическим смыслом задачи, то из (4) имеем

$$Z(r, \tau)|_{r=0} = W(r, \tau)|_{r=0} = 0. \quad (6)$$

Таким образом, задача сводится к нахождению решения системы дифференциальных уравнений (5), удовлетворяющего граничным условиям (2), (6) и начальным условиям (3). Сложность данной начально-краевой задачи заключается не только в системе (5), но и в постановке граничных условий различного рода: при  $r = 1$  условия (2) смешанного типа, при  $r = 0$  — условия Дирихле (6). Подобная сложность успешно преодолевается при использовании модифицированных рядов Фурье. В этой связи отметим: если бы решение было найдено, то на сферической границе зерна при  $r = 1$  функции  $Z$  и  $W$  принимали бы некоторые значения:

$$Z|_{r=1} = \varphi(\tau), \quad W|_{r=1} = \psi(\tau), \quad (7)$$

где  $\varphi(\tau), \psi(\tau)$  — пока неизвестные функции.

Возникает следующая новая задача: найти решение системы (5) с начальным условием (3) и граничными условиями (2), (6) и (7), где неизвестные  $\varphi(\tau), \psi(\tau)$  следует определить из граничных условий (2). Решение представим следующими модифицированными рядами Фурье:

$$Z = M_z + \sum_{m=1}^{\infty} Z_m(\tau) \sin(m\pi r), \tag{8}$$

$$W = M_w + \sum_{m=1}^{\infty} W_m(\tau) \sin(m\pi r).$$

Граничные функции второго порядка  $M_z$  и  $M_w$  с учетом условий (6) и (7):

$$M_z = \varphi(\tau)r + \varphi_0(\tau)\left(\frac{r^2}{2} - \frac{r^3}{6} - \frac{r}{3}\right) + \varphi_1(\tau)\left(\frac{r^3}{6} - \frac{r}{6}\right),$$

$$\varphi_0(\tau) = \frac{\partial^2 Z}{\partial r^2} \Big|_{r=0}, \quad \varphi_1(\tau) = \frac{\partial^2 Z}{\partial r^2} \Big|_{r=1},$$

$$M_w = \psi(\tau)r + \psi_0(\tau)\left(\frac{r^2}{2} - \frac{r^3}{6} - \frac{r}{3}\right) + \psi_1(\tau)\left(\frac{r^3}{6} - \frac{r}{6}\right),$$

$$\psi_0(\tau) = \frac{\partial^2 W}{\partial r^2} \Big|_{r=0}, \quad \psi_1(\tau) = \frac{\partial^2 W}{\partial r^2} \Big|_{r=1}. \tag{9}$$

Теперь решение задачи можно представить зависимостями:

$$Z = \varphi(\tau)r + \varphi_0(\tau)\left(\frac{r^2}{2} - \frac{r^3}{6} - \frac{r}{3}\right) + \varphi_1(\tau)\left(\frac{r^3}{6} - \frac{r}{6}\right) + \sum_{m=1}^{\infty} Z_m(\tau) \sin(m\pi r),$$

$$W = \psi(\tau)r + \psi_0(\tau)\left(\frac{r^2}{2} - \frac{r^3}{6} - \frac{r}{3}\right) + \psi_1(\tau)\left(\frac{r^3}{6} - \frac{r}{6}\right) + \sum_{m=1}^{\infty} W_m(\tau) \sin(m\pi r),$$

$$T = \varphi(\tau)r + \varphi_0(\tau)\left(\frac{r}{2} - \frac{r^2}{6} - \frac{1}{3}\right) + \varphi_1(\tau)\left(\frac{r^2}{6} - \frac{1}{6}\right) + \frac{1}{r} \sum_{m=1}^{\infty} Z_m(\tau) \sin(m\pi r),$$

$$U = \psi(\tau)r + \psi_0(\tau)\left(\frac{r}{2} - \frac{r^2}{6} - \frac{1}{3}\right) + \psi_1(\tau)\left(\frac{r^2}{6} - \frac{1}{6}\right) + \frac{1}{r} \sum_{m=1}^{\infty} W_m(\tau) \sin(m\pi r). \tag{10}$$

Функции  $Z$  и  $W$  в виде (10) по построению удовлетворяют граничным условиям (6), (7) и выражены через неизвестные функции только времени:  $\varphi(\tau)$ ,  $\varphi_0(\tau)$ ,  $\varphi_1(\tau)$ ,  $\psi(\tau)$ ,  $\psi_0(\tau)$ ,  $\psi_1(\tau)$ ,  $Z_m(\tau)$ ,  $W_m(\tau)$ ,  $m = 1, 2, \dots$  Перечисленные неизвестные найдем, выполнив дифференциальные уравнения (5),

граничные (2) и начальные условия (3). Для этого вначале подставим  $Z$  и  $W$  из (10) в систему дифференциальных уравнений (5):

$$\varphi'(\tau)r + \varphi_0'(\tau)\left(\frac{r^2}{2} - \frac{r^3}{6} - \frac{r}{3}\right) + \varphi_1'(\tau)\left(\frac{r^3}{6} - \frac{r}{6}\right) + \sum_{m=1}^{\infty} Z_m'(\tau) \sin(m\pi r) =$$

$$= A_{11} \left[ \varphi_0(\tau)(1-r) + \varphi_1(\tau)r - \sum_{m=1}^{\infty} Z_m(\tau) m^2 \pi^2 \sin(m\pi r) \right] +$$

$$+ A_{12} \left[ \psi_0(\tau)(1-r) + \psi_1(\tau)r - \sum_{m=1}^{\infty} W_m(\tau) m^2 \pi^2 \sin(m\pi r) \right],$$

$$\psi'(\tau)r + \psi_0'(\tau)\left(\frac{r^2}{2} - \frac{r^3}{6} - \frac{r}{3}\right) + \psi_1'(\tau)\left(\frac{r^3}{6} - \frac{r}{6}\right) + \sum_{m=1}^{\infty} W_m'(\tau) \sin(m\pi r) =$$

$$= A_{21} \left[ \varphi_0(\tau)(1-r) + \varphi_1(\tau)r - \sum_{m=1}^{\infty} Z_m(\tau) m^2 \pi^2 \sin(m\pi r) \right] +$$

$$+ A_{22} \left[ \psi_0(\tau)(1-r) + \psi_1(\tau)r - \sum_{m=1}^{\infty} W_m(\tau) m^2 \pi^2 \sin(m\pi r) \right]. \tag{11}$$

В (11) следует положить  $r=0$  и  $r=1$ , после чего будем иметь четыре уравнения:

$$r=0: A_{11}\varphi_0(\tau) + A_{12}\psi_0(\tau), A_{21}\varphi_0(\tau) + A_{22}\psi_0(\tau), \tag{12}$$

$$r=1: \varphi_1'(\tau) = A_{11}\varphi_1(\tau) + A_{12}\psi_1(\tau), \tag{13}$$

$$\psi_1'(\tau) = A_{21}\varphi_1(\tau) + A_{22}\psi_1(\tau).$$

Из (12) найдем

$$\varphi_0(\tau) = \psi_0(\tau) = 0. \tag{14}$$

Для нахождения неизвестных  $Z_m(\tau)$ ,  $W_m(\tau)$  левые и правые части системы (11) после упрощений с помощью (14) умножим на  $\sin(m\pi r)$  и проинтегрируем по  $r$  в пределах  $[0, 1]$ :

$$\frac{(-1)^m \varphi_1'(\tau)}{m^3 \pi^3} + \frac{1}{2} Z_m'(\tau) =$$

$$-A_{1,1} \frac{1}{2} \pi^2 m^2 Z_m(\tau) - A_{1,2} \frac{1}{2} \pi^2 m^2 W_m(\tau), \tag{15}$$

$$\frac{(-1)^m \psi_1'(\tau)}{m^3 \pi^3} + \frac{1}{2} W_m'(\tau) =$$

$$-A_{2,1} \frac{1}{2} \pi^2 m^2 Z_m(\tau) - A_{2,2} \frac{1}{2} \pi^2 m^2 W_m(\tau), \quad m = 1 \div N.$$

После подстановки  $Z$  и  $W$  из (10) в (2) при  $r=1$  будем иметь:

$$\begin{aligned} \frac{1}{3} \varphi_1(\tau) + a_1 \varphi + a_2 \psi + \sum_{m=1}^N Z_m(\tau) m \pi (-1)^m &= \\ &= a_1 + a_2 \frac{u_p}{u_0} - q_t \exp(-\alpha \tau), \\ \frac{1}{3} \psi_1(\tau) + b_1 \varphi + b_2 \psi + \sum_{m=1}^N W_m(\tau) m \pi (-1)^m &= \\ &= -b_1 + b_2 \frac{u_p}{u_0} - q_u \exp(-\alpha \tau) \end{aligned} \quad (16)$$

Относительно  $\varphi(\tau)$ ,  $\psi(\tau)$ ,  $\varphi_1(\tau)$ ,  $\psi_1(\tau)$ ,  $Z_m(\tau)$ ,  $W_m(\tau)$  получили замкнутую систему: (13), (15) и (16). Начальные условия для них найдем с помощью (3). Для этого подставим  $Z = rT$  и  $W = rU$  из (10) в начальные условия (3):

$$\begin{aligned} r \varphi(0) + \varphi_1(0) \left( \frac{r^3}{6} - \frac{r}{6} \right) + \sum_{m=1}^N Z_m(0) \sin m \pi r &= 0, \\ r \psi(0) + \psi_1(0) \left( \frac{r^3}{6} - \frac{r}{6} \right) + \sum_{m=1}^N W_m(0) \sin m \pi r &= r. \end{aligned} \quad (17)$$

В (17) положим  $r=0$ ,  $r=1$ ; затем обе части (17) дважды продифференцируем по  $r$  и вновь возьмем  $r=0$ ,  $r=1$ :

$$\begin{aligned} (r=1) \Rightarrow \varphi(0) = 0, \psi(0) = 1; \\ \left( \frac{\partial^2}{\partial r^2} \Big|_{r=1} \right) \Rightarrow \varphi_1(0) = \psi_1(0) = 0. \end{aligned} \quad (18)$$

Обе части (17) умножим на  $\sin m \pi r$  и проинтегрируем по  $r \in (0, 1]$ :

Из полученного уравнения найдем следующие начальные условия:

$$\begin{aligned} \varphi(0) = 1, \varphi_1(0) = \varphi_1(0) = \psi_1(0) = Z_m(0) = W_m(0); \\ m = 1 \div N. \end{aligned} \quad (19)$$

Таким образом, получена замкнутая система уравнений (13), (15), (16) относительно  $\varphi(\tau)$ ,  $\psi(\tau)$ ,  $\varphi_1(\tau)$ ,  $\psi_1(\tau)$ ,  $Z_m(\tau)$ ,  $W_m(\tau)$ ;  $m = 1 \div N$  с начальными условиями (19). Решение этой системы можно получить либо с помощью стандартной программы на ЭВМ, либо классическим методом.

Введем следующие обозначения:

$$\begin{aligned} \varphi(\tau) = y_1(\tau), \psi(\tau) = y_2(\tau), Z_m(\tau) = y_{m+2}(\tau), \\ W(\tau) = y_{m+2+N}(\tau), m = 1, \dots, N \end{aligned} \quad (20)$$

представим зависимость:

$$y_k(\tau) = D_k + G_k \exp(-\alpha \tau) + \sum_{j=1}^{2(1+N)} E_j C_{kj} \exp(\lambda_j \tau), \quad (21)$$

где  $D_k, G_k, C_{kj}, E_j$  — постоянные коэффициенты;  $\lambda_j$  — характеристические корни.

С помощью (21) с учетом обозначений (20) из (10) найдем  $T$  и  $U$  в явном аналитическом виде, которые точно удовлетворяют начальным (3) и граничным (2) условиям и приближенно дифференциальным уравнениям системы (5). Величина максимальной невязки уравнений (5) даже при  $N = 1$  весьма незначительная и с ростом времени  $\tau$  быстро уменьшается [8]. Невязка первого дифференциального уравнения системы (5) примерно в два раза меньше, чем у второго. При учете двух слагаемых в рядах Фурье (10) точность быстро возрастает, невязка быстро уменьшается.

Из анализа рядов (10) следует, что для инженерных целей в этих рядах можно ограничиться только одним первым слагаемым и приближенное решение представить суммой граничных функций и первых членов модифицированных рядов Фурье:

$$T \approx \frac{1}{r} [M_z + Z_1(\tau) \sin \pi r], \quad U \approx \frac{1}{r} [M_w + W_1(\tau) \sin \pi r].$$

Подобные случаи быстрой сходимости известны, так, например, в [5] при решении задачи о кручении упругого стержня прямоугольного сечения показано, что в используемых рядах достаточно ограничиться только первым слагаемым.

Данная задача решена в системе символьных вычислений MAPLE [9]. Приведем ее блок-схему (рис. 1).

В частности, с помощью (10) можно найти закон изменения  $T$  и  $U$  в центре зерна:

$$\begin{aligned} T(0, \tau) = \varphi(\tau) - \frac{1}{6} \varphi_1(\tau) + \sum_{m=1}^N m \pi Z_m(\tau), \quad U(0, \tau) = \\ = \psi(\tau) - \frac{1}{6} \psi_1(\tau) + \sum_{m=1}^N m \pi W_m(\tau). \end{aligned}$$

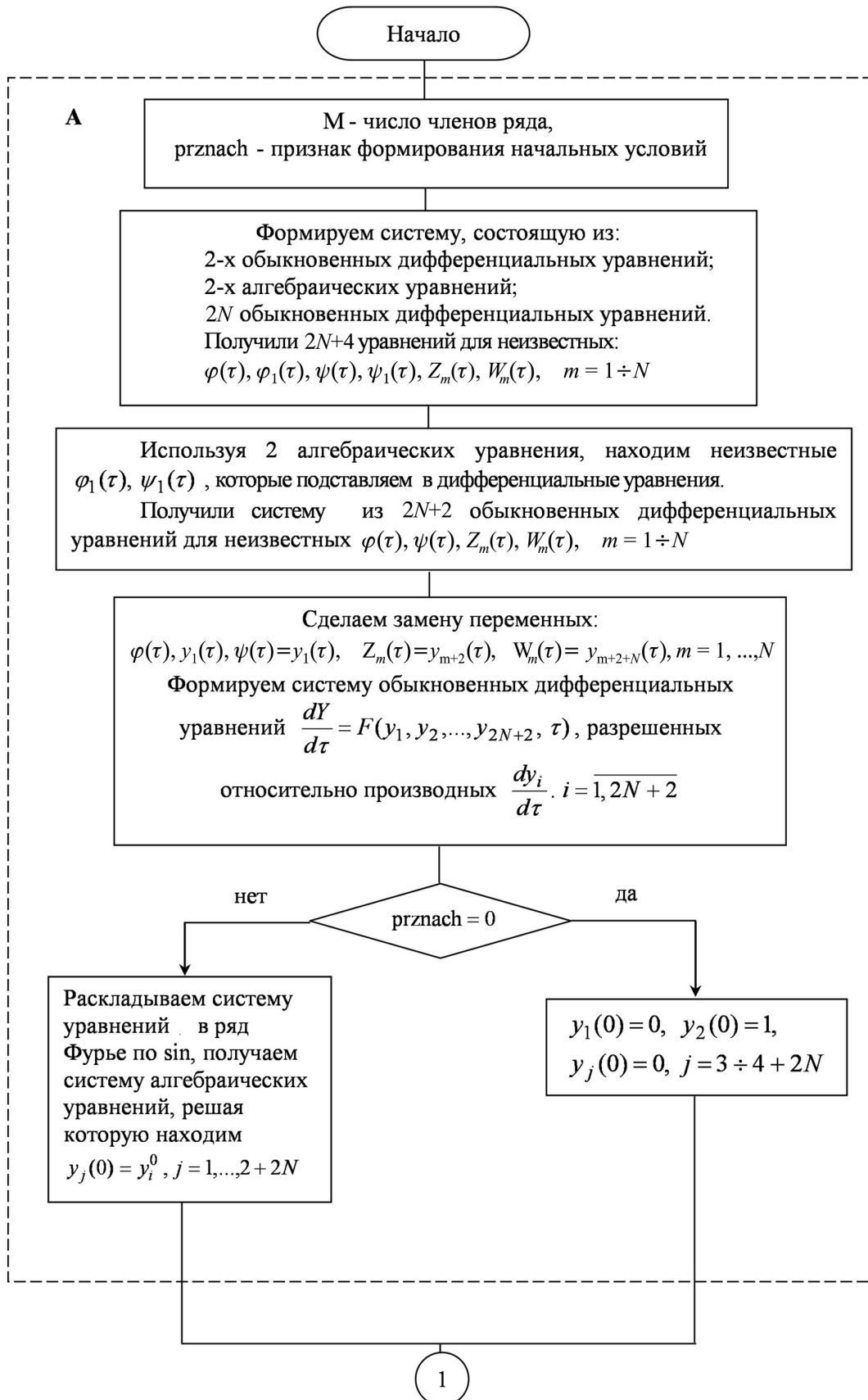
Распределения температуры и влагосодержания при  $\alpha = 10$ , вычисленные по данным из [3]:

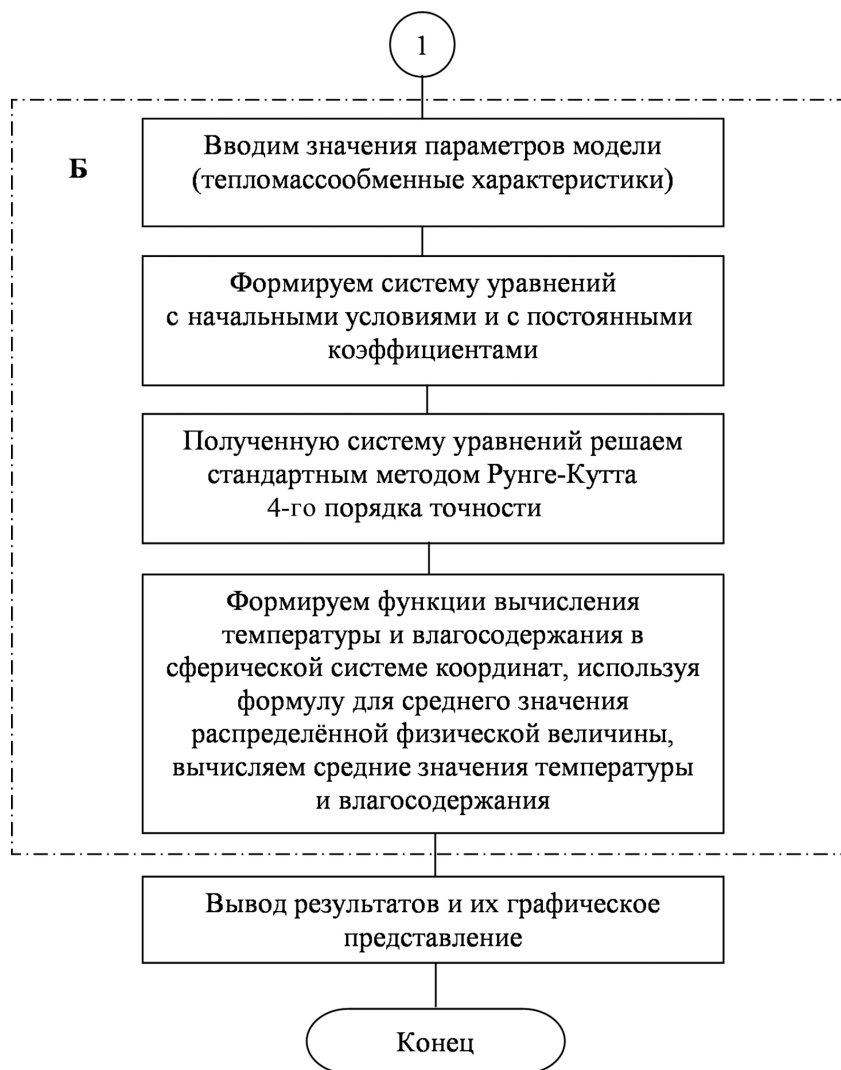
$$\begin{aligned} A_{11} = 1,1; \quad A_{12} = 0,1; \quad A_{21} = A_{22} = 1; \\ a_1 = b_1 = b_2 = 0,05; \quad a_2 = 0; \quad u_p/u_0 = 0, \end{aligned} \quad (22)$$

что соответствует

$$\text{Lu} = 1, \text{Pn} = 1, \text{Ko} = 0,1, \text{Vi}_m = 0,05, \text{Vi}_q = 0,05$$

и  $\varepsilon = 1$ , показаны на рис. 2. Отсюда видно, что при малых числах  $\text{Vi}_m$  и  $\text{Vi}_q$  температура  $T$  и влагосо-





▲  
 ◀ **Рис. 1.** Блок-схема программного обеспечения для процесса сушки зерна:  
 блок А — аналитическое решение, блок Б — численное решение

держание  $U$  незначительно зависят от  $r$  и существенно от времени сушки  $\tau$ . При больших значениях числа  $Bi_q$  неравномерность температуры в зерне при нестационарном тепло- и массообмене будет существенной (рис. 3). При больших значениях  $Bi_m$  в зерне наблюдается неравномерность влагосодержания (см. рис. 3). Кривые на рис. 3 получены по данным (22) при изменении  $Bi_m$  или  $Bi_q$ .

Сравнение результатов численных экспериментов по предложенной математической модели с результатами, полученными в [3], представлено на рис. 4, на котором изображены кривые  $T$  и  $U$  при  $r=1$ .

Проведена серия экспериментов с различными параметрами агента сушки и значениями начальной влажности зерна. Результаты математического мо-

делирования сопоставлялись с результатами проведенных экспериментов [1]. На рис. 5 изображены распределения температуры и влагосодержания, полученные при  $Lu = 0,001204$ ,  $Pn = 0,27493 \cdot 10^{-5}$ ,  $Ko = 2,1860$ ,  $Bi_m = 3,7354$ ,  $Bi_q = 0,015$  и  $\varepsilon = 1$ .

Для сравнения экспериментальных данных с результатами численных экспериментов по формулам [4]

$$\bar{T}(\tau) = \frac{3}{R^3} \int_0^R r^2 T dr, \quad \bar{U}(\tau) = \frac{3}{R^3} \int_0^R r^2 U dr$$

были определены средние по объему значения температуры  $\bar{T}(\tau)$  и влагосодержания  $\bar{U}(\tau)$ . Результаты сравнения изображены на рис. 6. Средняя относительная погрешность за время  $\tau = 52,8$  для влагосодержания составляет  $\approx 2\%$ , а для температуры  $\approx 9\%$ .

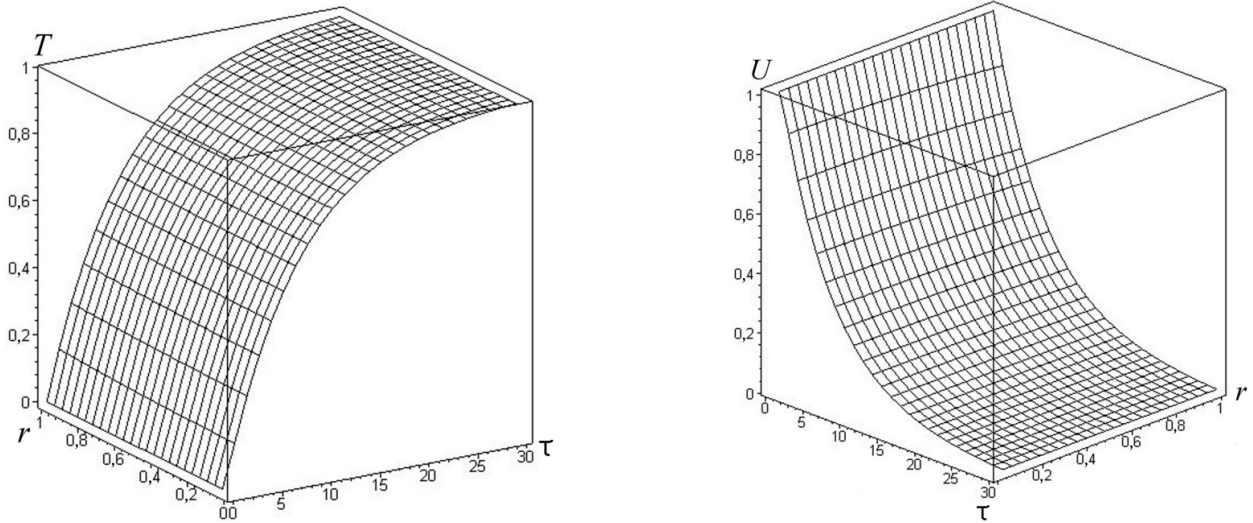


Рис. 2. Распределения температуры и влагосодержания по данным [3]

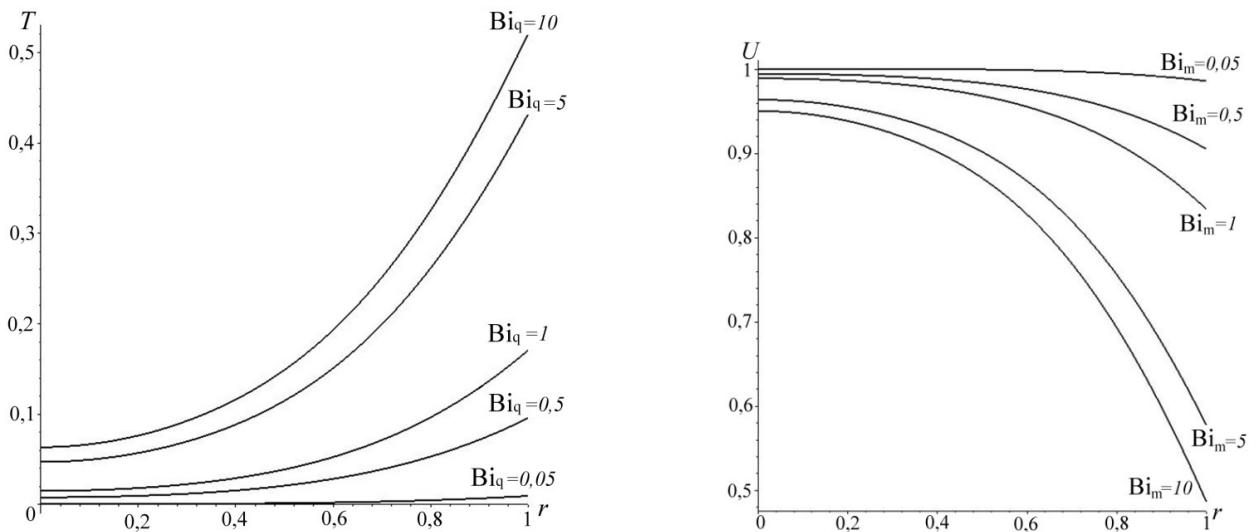


Рис. 3. Неравномерность профилей температуры и влагосодержания в зерне в зависимости от радиуса

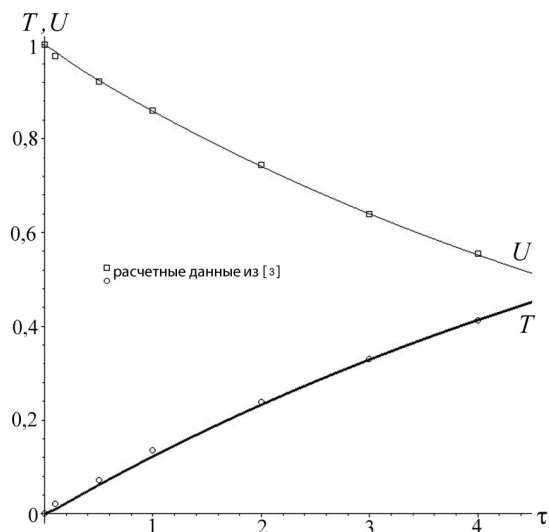


Рис. 4. Сравнение результатов численных экспериментов по предложенной математической модели с результатами, полученными в [3]

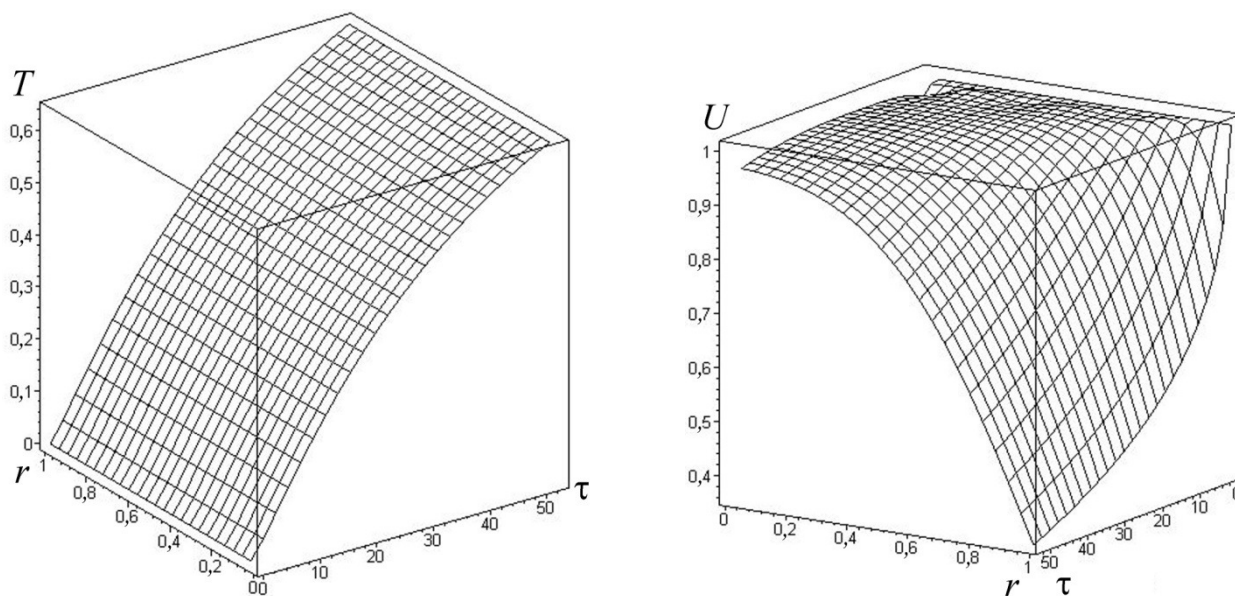


Рис. 5. Распределения температуры и влагосодержания по экспериментальным данным

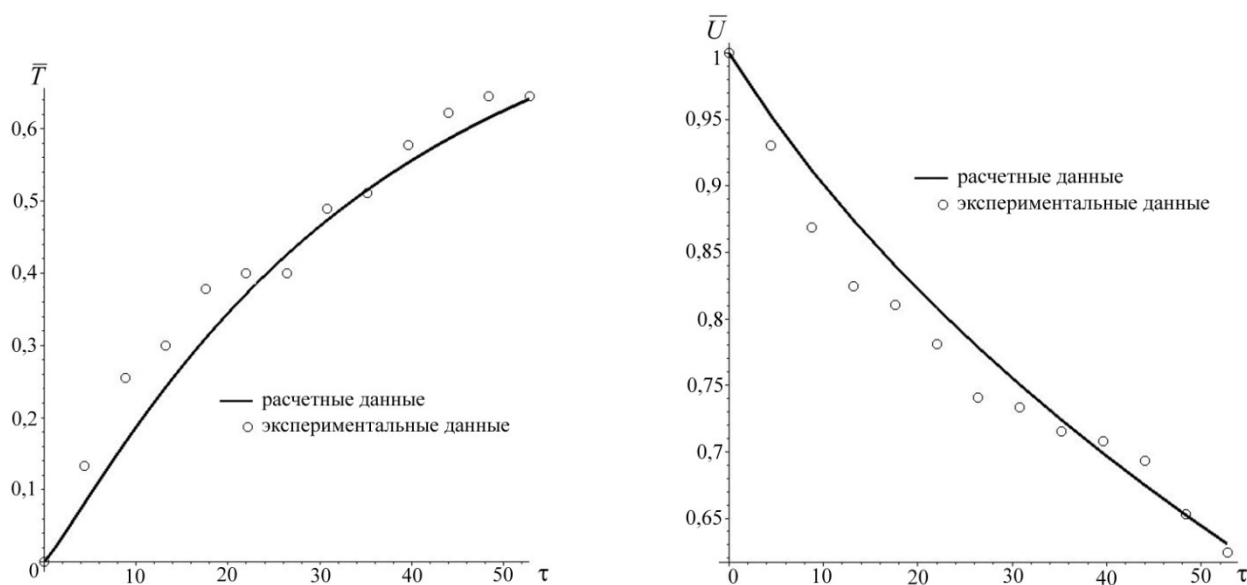


Рис. 6. Сравнение результатов численных экспериментов с экспериментальными данными для средних по объему  $T$  и  $U$

### Заключение

Таким образом, можно сделать вывод, что математическая модель А. В. Лыкова и представленное аналитическое решение (20) в рамках сделанных допущений достаточно адекватно описывает реальный процесс сушки зерновых культур. Применение модифицированных рядов Фурье, разработанных в [6, 8, 7], для решения подобных задач теплообмена позволяет получить приближенное решение в аналитическом виде (20) с любой заданной точ-

ностью при минимальных вычислительных затратах на ЭВМ.

### Литература

1. Воронова Е. В., Павлов И. О. Анализ методов решения математических моделей теплообмена в процессе сушки // Системы управления и информационные технологии. № 1(47), 2012. С. 8–11.
2. Горелова Е. И. Основы хранения зерна. М.: Агропромиздат, 1986.



3. *Жидко В. И., Бомко А. С.* Решение системы уравнений тепло- и массопереноса методом прямых // ИФЖ. 1966. Т. 11. № 3. С. 362–366.
4. *Лыков А. В., Михайлов Ю. А.* Теория тепло- и массопереноса. М.; Л.: Госэнергоиздат, 1963.
5. *Тимошенко С. П., Гудьер Дж.* Теория упругости. М.: Наука, 1979. 560 с.
6. *Чернышов А. Д.* Улучшенные ряды Фурье и граничные функции // Сб. трудов Международной конференции «Актуальные проблемы прикладной математики, информатики и механики». Воронеж, 22–24 июня, 2009 г., ч. 2. С. 236–238.
7. *Шевцов А. А., Павлов И. О., Воронова Е. В., Бритиков Д. А.* Аналитическое решение математической модели связанного тепломассопереноса при конвективной сушке зерна // Известия ВУЗов. Пищевая технология. 2010. № 4. С. 99–102.
8. *Шевцов А. А., Павлов И. О., Воронова Е. В., Бритиков Д. А.* Применение модифицированных рядов Фурье для решения уравнений Лыкова // Международный научно-практический семинар «Актуальные проблемы сушки и термовлажностной обработки материалов». Воронеж: ВГЛТА. 2010. С. 106–107.
9. *Шевцов А. А., Павлов И. О., Воронова Е. В., Бритиков Д. А.* Расчет полей температуры и влагосодержания для процесса нестационарной сушки зерна методом модифицированных рядов Фурье // Свидетельство № 2010613333 об офиц. Рег. Прогр. для ЭВМ Россия. № 2010611441; заявл. 22.03.2010; опубл. 20.05.2010.

**Воронова Елена Васильевна.** Программист Воронежского государственного университета инженерных технологий. К. т. н. Окончила Воронежскую государственную технологическую академию в 2006 г. Количество печатных работ: 34. Область научных интересов: математическое моделирование тепломассообменных процессов. E-mail: e-lena\_V@inbox.ru

**Гладких Татьяна Васильевна.** Доцент Воронежского государственного университета инженерных технологий. К. т. н. Окончила Воронежский государственный университет в 1995 г. Количество печатных работ: 20. Область научных интересов: информационные технологии. E-mail: gtv1113@rambler.ru